

## ЧИСЛЕННОЕ МОДЕЛИРОВАНИЕ ВСПЛЫТИЯ ПУЗЫРЯ

В. А. Ельтищев, А. Н. Кондрашов

Пермский государственный национальный исследовательский университет,  
614990, Пермь, Букирева, 15

Дрейф тел – один из самых распространенных процессов на Земле, который играет важную роль в целом ряде технологических процессов и в технических устройствах.

Изучение движения одиночных газовых пузырей продолжается в течение длительного времени. Получены важные теоретические решения [1–2] и накоплено значительное количество экспериментальных результатов [3].

За последнее двадцатилетие было проведено немало и численных работ по изучению дрейфа пузырьков в жидкости. В статье [4] численно моделировалось поведение пузыря в вязкой жидкости. Был проведен анализ изменения формы поверхности пузыря в зависимости от соотношения его сторон (высоты и ширины) при различных числах Рейнольдса. При  $Re = 13.95$  конечная форма поверхности пузыря не зависит от начального соотношения сторон, однако при  $Re = 206.3$  конечная форма пузырька качественно меняется.

В работах, связанных с моделированием поведения пузырька воздуха в жидкости, чаще всего исследуются изменения формы поверхности пузыря от различных параметров: вязкости жидкости, размера пузыря, числа Рейнольдса, начальных условий и т.д.

**Цель настоящей работы** – численное моделирование всплытия воздушного пузырька в жидкости с учетом сил поверхностного натяжения.

### Постановка задачи

Рассматривается двухмерная задача дрейфа газового пузырька в вязкой несжимаемой жидкости с учетом искажений формы его поверхности и пространственного перемещения. Область прямоугольная с твердыми непроницаемыми границами.

Для отделения жидкой фазы в рассматриваемой области от газообразной вводится функция фазы, которая принимает определенное значение в конкретной фазе (рис. 1):

$\varphi(x, y) = 0$  в жидкой фазе,

$\varphi(x, y) = 1$  в газообразной фазе,

$0 < \varphi(x, y) < 1$  на границе между фазами.

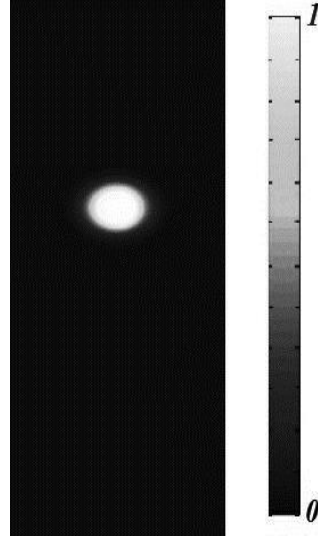


Рис. 1. Функция фазы в области

Поставленную задачу можно описать системой уравнений (1)–(4), которая состоит из уравнения Навье-Стокса (1), уравнения непрерывности (2), уравнения Пуассона для давления (3) и уравнения переноса для фазы (4).

$$\rho \left[ \frac{\partial \mathbf{v}}{\partial t} + (\mathbf{v} \nabla) \mathbf{v} \right] = -\nabla P + \nabla[\mu(\nabla \mathbf{v} + \nabla \mathbf{v}^T)] + \rho \mathbf{g} + \mathbf{F}_{sf}, \quad (1)$$

$$\nabla \mathbf{v} = 0, \quad (2)$$

$$\Delta P = \text{div}\{\nabla[\mu(\nabla \mathbf{v} + \nabla \mathbf{v}^T)] + \mathbf{F}_{sf} - \rho(\mathbf{v} \nabla) \mathbf{v} + \rho \mathbf{g}\}, \quad (3)$$

$$\frac{\partial \varphi}{\partial t} + (\mathbf{v} \nabla) \varphi = \gamma \nabla \left( \varepsilon \nabla \varphi - \varphi(\varphi - 1) \frac{\nabla \varphi}{|\nabla \varphi|} \right), \quad (4)$$

где  $\rho$  – плотность вещества,  $P$  – давление,  $\mu$  – динамическая вязкость,  $\mathbf{g}$  – ускорение силы тяжести,  $\mathbf{F}_{sf}$  – сила поверхностного натяжения,  $\gamma$  – параметр, определяющий максимальную скорость в модели.

Уравнение для давления (3) получается из уравнения движения (1) путем применения операции дивергенции, учитывая (2). Сила поверхностного натяжения  $\vec{F}_{sf}$  может быть записана в виде:

$$\mathbf{F}_{sf} = \nabla[\sigma\{1 - (\mathbf{nn}^T)\}\delta],$$

где  $\sigma$  — коэффициент поверхностного натяжения,  $\mathbf{n} = \frac{\nabla \varphi}{|\nabla \varphi|}$  — вектор нормали к поверхности пузыря, а  $\delta = |\varphi(1 - \varphi)| |\mathbf{n}|$  — дельта-функция Дирака.

Плотность и динамическая вязкость вещества выражаются через функцию  $\varphi$  следующим образом:

$$\rho = \rho_f + (\rho_g - \rho_f)\varphi,$$

$$\mu = \mu_f + (\mu_g - \mu_f)\varphi,$$

где индекс  $f$  относится к жидкости, а  $g$  — к газу.

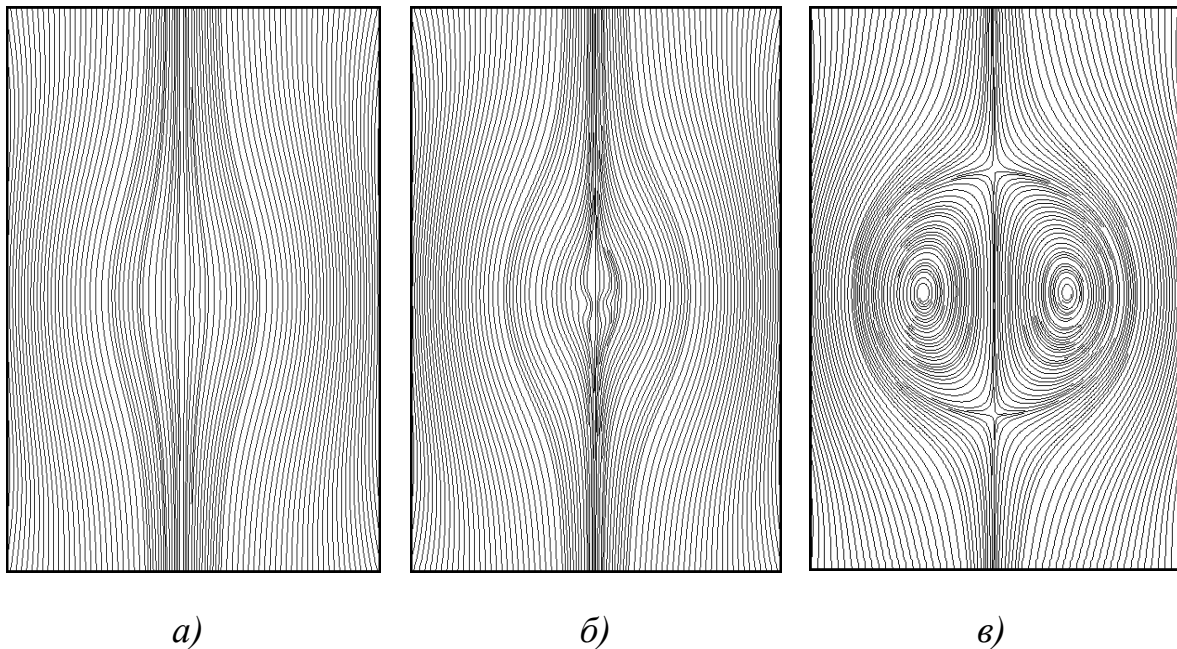
### Методика расчета

Основой метода является дискретизация — замена непрерывной области совокупностью изолированных точек (вычислительная сетка), причем решение уравнений ищется только в этих точках (узлах сетки). Дифференциальные операторы аппроксимируются конечными разностями, и решение уравнения в частных производных сводится к решению системы алгебраических уравнений.

Система уравнений (1 — 4) решается методом конечных разностей с использованием метода проекции. Уравнение (3) решается методом простой итерации.

### Результаты

В итоге численного расчета по первой схеме было определено, что пузырьки воздуха с радиусом  $R > 0.1$  мм и  $R < 4$  мм всплывают прямолинейно, не испытывая каких-либо колебаний. Однако в некоторый момент времени, когда скорость пузырька достигает какого-то определенного значения, наступает неустойчивость в решении и схема расходится. Несмотря на это, удалось пронаблюдать за эволюцией вихрей внутри пузыря до разрушения решения (рис. 2).



**Рис. 2.** Линии тока в различные моменты времени:  
*a)  $t=0.005$  с, б)  $t=0.01$  с, в)  $t=0.02$  с*

Неустойчивость решения может возникать из-за больших градиентов скорости, в результате которых за один шаг по времени фаза перескакивает на расстояния, большие шага сетки  $h$ . Так же причиной неустойчивости может быть излишняя плавность функции  $\varphi$ . Однако, чтобы сделать функцию фазы более крутой на границе пузырь-вода необходимо уменьшать шаг сетки, чтобы разрешить уравнения, но это приводит к росту размеров используемых массивов, а, следовательно, и к увеличению расчетного времени.

### Список литературы

1. *Zhang L., Yang C., Mao Z.-S.* Numerical simulation of a bubble rising in shear-thinning fluids // *Journal of Non-Newtonian Fluid Mechanics*. 2010. N. 12. P. 555–567
2. *Ильгамов М. А., Косолапова Л. А., Малахов В. Г.* Движение пузырька газа в жидкости с учетом искажения его сферической формы // *Вестник ТГГПУ*. 2010. V. 21. P. 7.
3. *Riboux G., Risso F., Legendre F.* Experimental characterization of the agitation generated by bubbles rising at high Reynolds number // *J. Fluid Mech.* 2009. P. 509–539.
4. *Hua J., Lou J.* Numerical simulation of bubble rising in viscous liquid // *Journal of Computational Physics*. 2007. V. 222. P. 769–795.